

استفاده از نشانگرهای ریزماهواره و تنوع بالادستی فاکتور رونویسی *MYB10* در مطالعه تنوع ژنتیکی سیب‌های گوشت قرمز در ایران

Analysis of genetic variation among red flesh apple genotypes using microsatellite markers and polymorphism of *MYB10* gene

ابراهیم محمودی^۱، عباس یداللهی^۱، بهرام محمدسلطانی^۱، لیلا دهاقین^۱، شاداب فرامرزی^۱

- به ترتیب کارشناس ارشد، استادیاران و کارشناسان ارشد دانشگاه تربیت مدرس، تهران

Mahmoudi E^{*1}, Yadollahi A¹, Mohammad Soltani B¹, Dahaghin L¹, Faramarzi S¹

1. Graduate Student, Assistant Professors, Graduated Students, Tarbiat Modares University, Tehran

* نویسنده مسئول مکاتبات، پست الکترونیکی: eb.mahmoudi@gmail.com

(تاریخ دریافت: ۹۱/۱۰/۲۵ - تاریخ پذیرش: ۹۲/۱۲/۱۱)

چکیده

سیب‌های گوشت قرمز از نژادگان‌های سیب ایرانی هستند که حاوی مقادیر بالای آنتوسبیانین در کورتکس و گوشت می‌باشد که موجب ایجاد رنگ قرمز درون میوه شده است. به منظور بررسی تنوع ژنتیکی این ژنوتیپ‌های گوشت قرمز بومی، تعداد ۲۰ ژنوتیپ گوشت قرمز و سفید انتخاب شد و با استفاده از ۱۱ جفت آغازگر ریزماهواره مورد ارزیابی قرار گرفتند که از این میان ۷ جفت آغازگر چندشکلی مناسبی بین کل ژنوتیپ‌ها نشان دادند و در مجموع ۶۵ آلل را شناسایی کردند. تعداد آلل در هر مکان ژنی بین ۳ تا ۱۱ متغیر و با میانگین ۸ بود. میانگین تعداد آلل مؤثر مقدار ۵/۷۴ براورد شد. همچنین هتروژیگوستی قابل مشاهده ۰/۶ و هتروژیگوستی قابل انتظار ۰/۷۷ محاسبه شد. تجزیه خوشای با استفاده از ضریب تشابه دایس به عنوان معیار مقایسه و روش UPGMA انجام گرفت که کل ژنوتیپ‌ها به هفت گروه تقسیم شدند. بر اساس دندرограм، ارتباطی میان گروه‌بندی و منشا چهارگانی مشاهده نشد و بنابراین ژنوتیپ‌های مربوط به مناطق یکسان در گروه‌های متفاوت قرار گرفتند. از آنجا که عامل رنگ قرمز گوشت در سیب فاکتور رونویسی *MYB10* می‌باشد لذا به منظور بررسی پلی‌مورفیسم احتمالی این ژن در ژنوتیپ‌های مورد مطالعه، ناحیه بالا دست ژن جداسازی و تعیین توالی شد. نتایج نشان داد که یک ناحیه تکراری شامل پنج تکرار در ژنوتیپ‌های گوشت قرمز وجود دارد که در ژنوتیپ‌های سفید موجود نیست. با توجه به خودناسازگاری سیب به نظر می‌رسد که تلاقی ژنوتیپ‌های گوشت قرمز هتروژیگوست (حاصل ژن *MdMYB10*) با ژنوتیپ‌های گوشت سفید منجر به تولید ارقام سفید و قرمز نزدیک (از لحاظ ژنتیکی) شده است.

واژه‌های کلیدی
تنوع ژنتیکی
سیب گوشت قرمز
نشانگر ریزماهواره
DNA
MYB10

مقدمه

است (Silfverberg-Dilworth et al. 2006). همچنین به کمک این نشانگرها پراکنش ژنتیکی میان ژنوتیپ‌های مختلف سیب ارزیابی شده است (Gianfranceschi et al. 1998; Hokanson et al. 1998). علاوه بر این با استفاده از ریزماهواره‌ها مطالعات تکاملی در مورد منشا سیب صورت گرفته است (Harris et al. 2002). با بهره‌گیری از نشانگرهای ریزماهواره و ISSR، نگاری و تعیین درجه شباهت بین ۴۱ رقم تجاری سیب انجام شد و نتیجه‌گیری شد که SSR و ISSR، برای شناسایی ارقام و ارزیابی روابط ژنتیکی سودمندتر از دیگر روش‌های مبتنی بر PCR هستند (Goulao et al. 2001). در ایران نیز تاکنون چندین مطالعه با استفاده از نشانگرهای ریزماهواره صورت گرفته است. تنوع ژنتیکی ۳۳ رقم و ژنوتیپ سیب ایرانی با چهار نشانگر ریزماهواره بررسی و به ده گروه طبقه‌بندی شد که گروه‌ها بر اساس منشا جغرافیایی و یا خصوصیات میوه نتایج منطقی داشتند (Ershadi 2002). همچنین انگشت‌نگاری و بررسی روابط ژنتیکی ژنوتیپ‌های سیب گلاب ایران انجام شد که تنوع ژنتیکی کمی می‌باشد (Nagshin et al. 2008). در مطالعه دیگر، منشا و تکامل سیب و همچنین روابط ژنتیکی ۱۵۹ رقم داخلی و خارجی بررسی شد و نتایج گروه‌بندی منطقی ارزیابی شد (Gharghani et al. 2009). همچنین تنوع ژنتیکی ۴۴ رقم سیب از مناطق مختلف ایران به کمک ۱۶ جفت نشانگر ریزماهواره ارزیابی شد که در این بررسی ۴۵ الی شناسایی شناسایی و جمعیت مورد مطالعه خارج از تعادل هاردی-وایبرگ گزارش شد (Farrokhi et al. 2012). در یک پژوهش کارایی نشانگر ملکولی ریزماهواره (SSR) در شناسایی ۲۴ ژنوتیپ و ۵ پایه بومی و خارجی سیب مورد بررسی قرار گرفت که نتایج بیانگر کارایی بالای نشانگر ریزماهواره در شناسایی ارقام و پایه‌های سیب بود (Gahromee et al. 2009).

مواد و روش‌ها

جمع آوری مواد گیاهی

در اردیبهشت ۱۳۸۸ عملیات نمونه‌گیری از درختان سیب صورت گرفت. تعداد ۲۰ رقم گوشت قرمز و سفید مورد مطالعه قرار گرفت (جدول ۱) که ۱۷ رقم از کلکسیون درختان میوه کمال آباد

سیب گوشت قرمز یکی از نژادگان سیب ایرانی است که دارای مقادیر متفاوتی از آنتوسیانین (کم تا زیاد) در کورتکس میوه می‌باشد و همین امر سبب تمایز آن از سیب معمولی و ایجاد ظاهر جذاب شده است (Faramarzi 2011). آنتوسیانین دسته‌ای از متabolیت‌های ثانویه است که موجب رنگدهی در گیاهان می‌شود. آنتوسیانین در جلوگیری از بیماری‌های قلبی، سرطان و دیابت نقش دارد (Koneczak et al. 2004). تنظیم ژن‌های مسیر آنتوسیانین توسط فاکتورهای رونویسی MYB صورت می‌گیرد. ژن‌های MYB در بسیاری از گیاهان شناسایی و تعیین هویت شده‌اند (Allan et al. 2008). در سیب ژن‌های *MdMYBI* و *MdMYB10* به ترتیب مسئول رنگ قرمز در پوست و گوشت میوه می‌باشد (Ban et al. 2007; Espley et al. 2007). این ژن‌ها در انتهای کروموزوم ۹ سیب قرار دارند (Chagne et al. 2007) و با افزایش سطح رونویسی آنها، میزان آنتوسیانین نیز افزایش می‌یابد (Ban et al. 2007; Espley et al. 2007).

نشانگرهای ریزماهواره یک توالی تکراری DNA می‌باشد که عموماً شامل واحد ۱-۶ نوکلئوتیدی است. به علت توانایی بالای این نشانگرها در نشان دادن پلی‌مورفیسم، توارث همباز و فراوانی نسبی در ژنوم از آنها برای مطالعات رده‌بندی، بررسی تنوع ژنتیکی و ترکیب نقشه‌های لینکازی گونه‌های مختلف استفاده می‌شود. بررسی‌های زیادی با استفاده از نشانگرهای ریزماهواره بمنظور بررسی ژنتیکی سیب انجام شده است. نشانگرهای SSR در مطالعات ژنتیکی و انگشت‌نگاری گونه‌های درختان میوه دانه دار مانند سیب و گلابی نسبت به سایر نشانگرها کاربرد وسیع‌تری دارند (Gianfranceschi et al. 1998). در بررسی دیگری ۱۴۲ رقم از ۲۳ گونه سیب با ۸ نشانگر SSR با لای تنوع با متوسط ۲۶/۴ الی در هر مکان ژنی گزارش شد (Hokanson et al. 1998). در مطالعه دیگر ۶۶ رقم سیب تجاری از ۶ آغازگر SSR استفاده شد که ۵۵ الی با میانگین ال ۹/۲ در هر مکان ژنی شناسایی شد (Gábor et al. 2005). در یک پژوهش ۳۵۰ رقم از اروپا توسط ۸۰ نشانگر ریزماهواره مورد بررسی قرار گرفت و بیان داشت اهمیت این نشانگرها در ارزیابی ژنوم سیب احتمالاً به پراکنش مناسب آنها در سطح ژنوم مرتبط

جدول ۱- اسامی ارقام و ژنتیپ‌های سبب مورد استفاده در این پژوهش

ژنتیپ‌های گوشت قرمز (همگی پوست قرمز)			
منشا	ژنتیپ	منشا	ژنتیپ
روسیه	B.9	تهران	حاجی قرمز
قزوین	قزوین-۱	تهران	گوشت قرمز
قزوین	قزوین-۲	شهرورد	شهرورد ۱۰۰د
قزوین	قزوین-۳	تهران	عروس گوشت قرمز

ارقام ایرانی			
منشا	رقم	منشا	رقم
کرمانشاه	گلاب صحنه	ناشناسخه	شفیعی
مشهد	حیدر زاده	شهریار	گلاب کهنه
کرج	شفیع آبادی	آذربایجان	سلطانی شیستر

ارقام خارجی			
منشا	رقم	منشا	رقم
ژاپن	فوجی	نيويورك-آمريكا	جاناتان
آمريكا	رد دليشر	ويرجينيا-آمريكا	گلدن دليشر
نيوزيلند	گالا	استراليا	گرانی اسمیت

۹۵°C به مدت ۳ دقیقه آغاز شد و سپس ۳۰ چرخه شامل واسرشته سازی ثانویه در دمای ۹۴°C به مدت ۳۰ ثانیه، اتصال آغازگرها به رشته DNA به مدت ۳۰ ثانیه و تکثیر قطعات در دمای ۷۲°C به مدت یک دقیقه ادامه یافت. در انتهای یک چرخه تکثیر نهایی در دمای ۷۲°C به مدت ۱۰ دقیقه انجام شد. محصولات واکنش زنجیره‌ای پلیمراز در دمای ۴°C نگهداری شدند. الکتروفورز محصولات PCR بر روی ژل پلی اکریلامید ۶ درصد صورت گرفت و سپس رنگ آمیزی با نیترات نقره انجام شد. هر باند SSR نشان دهنده یک ال است که به صورت صفر (نبود باند) و یک (وجود باند) نمره‌دهی شدند. پارامترهای مربوط به جمعیت شامل تعداد آلل مشاهده شده و موثر، هموزیگوستی و هتروزیگوستی مشاهده شده و مورد انتظار توسط نرم افزار POPGEN v1.32 نرمافزار NTSYS V2.02 و بر اساس ضریب دایس و الگوریتم UPGMA استفاده شد.

وابسته به موسسه اصلاح و تهیه نهال و بذر کرج و سه ژنتیپ از قزوین انتخاب شد. انتخاب ارقام براساس ویژگی‌های مناسب مورد نظر آنها برای این تحقیق صورت گرفت. برگ‌های جوان سرشاخه‌ها انتخاب و بالا فاصله در ازت مایع منجمد شد و در دمای -۸۰ درجه سانتی‌گراد نگه‌داری شدند.

بررسی نشانگرهای ریزماهواره در این تحقیق از ۷ آغازگر ریزماهواره معرفی شده سبب که تعدادی از آنها برای بررسی لینکاز با رنگ قرمز معرفی شده بودند و میزان چندشکلی بالایی نشان دادند، استفاده شد (جدول ۲) et al. 2007. استخراج DNA ژنومی به روش دویل و دویل صورت گرفت (Doyle and Doyle 1987). واکنش زنجیره‌ای پلیمراز برای تکثیر هر یک از ۷ نشانگر ریزماهواره سبب در حجم ۲۵ میکرولیتر شامل بافر $10 \times$ dNTPs (۱۰ میلی مولار)، $MgCl_2$ (۴۰ میلی مولار)، آغازگر (۵ میکرومولار) و واحد از آنزیم تک پلیمراز (سیناژن) انجام شد. برنامه تکثیر ریزماهواره‌ها به صورت یک چرخه واسرشته سازی اولیه در دمای

جدول ۲- تعداد و توالی آغازگرهای استفاده شده در این تحقیق.

منبع	نام آغازگر	توالی آغازگر (' - ۵')
(Espley et al. 2009)	MdBHLH3	F: CAACTCCCCTTATTCTTCTCTCTC R: CACCTGACCTCTCTACCTCTAC
(Espley et al. 2009)	MdMYB12	F: CTCGGCAATCGGTAAAGCTA R: TATGAACAGTGAAACCTAACCCCT
(Espley et al. 2009)	NZmsPa18	F: GGCACAAGCACAAGGAAACA R: GTTGAGGCCAGTCCATTTCCTAT
(Espley et al. 2009)	NZmsPa113	F: TCGATGAACAAGGCCAAAG R: GTTAGGGGACGGAAGGAACAAG
(Espley et al. 2009)	NZmsPa136	F: CCTCAACAAATATAAGACTCTCTC R: GTTTCTCCACTCTGTCCGTACATT
(Espley et al. 2009)	NZmsPa145	F: AAAACCCAACACCACACAGC R: GCTTCTTGGATTCTGGATG
(Espley et al. 2009)	NZmsPa1213rd	F: CAACCTTCTCTCATCACTC R: GTTCCTTTATGTACCGGCTT

ارقام و ژنتوتیپ‌های مورد مطالعه داشته باشند و در مجموع ۵۶ آلل را شناسایی کردند (شکل ۱). در جدول ۳ اطلاعات مربوط به چندشکلی آلل‌ها نشان داده شده است. بیشترین تعداد آلل مشاهده شده ۱۱ عدد و مربوط به آغازگرهای NZmsPa113 و NZmsPa145 و کمترین تعداد آلل مشاهده شده ۳ عدد و مربوط به آغازگر MdBHLH3 بود. میانگین تعداد آلل مشاهده شده، ۸ آلل در هر مکان ژئی بود که با تحقیقات قبلی شامل ۴/۵ آلل در هر مکان ژئی در ۲۱ رقم سیب (Guilford et al. 1997)، ۸/۲ آلل در هر مکان ژئی در ۱۹ رقم سیب (Hokanson et al. 1998)، ۶/۵ آلل در هر مکان ژئی در ۴۱ ژنتوتیپ سیب با استفاده از SSR (Harris et al. 2002)، ۹/۲ آلل در هر مکان ژئی در ۶۶ رقم سیب با استفاده از ۶ آغازگر (Galli et al. 2005)، ۱۰/۹ آلل در هر مکان ژئی در ۴۴ ژنتوتیپ سیب با استفاده از ۹ آغازگر (Cavanna et al. 2008) و ۱۴/۷ آلل در هر مکان ژئی در ۴۹ کولتیوار سیب (Richards et al. 2009). بیشترین تعداد آلل موثر، ۱۰/۲۵ برای آغازگر MdBHLH3 و کمترین تعداد آلل موثر ۲/۰۶ برای آغازگر NZmsPa145 بود و میانگین تعداد آلل موثر ۵/۷۴ در هر مکان ژئی محاسبه شد (جدول ۳).

بیشترین هتروزیگوستی مشاهده شده برابر با یک برای آغازگر

تکثیر ناحیه تکراری ژن *MdMYB10b* ۱۲۰ ng از DNA ژنومی برای واکنش PCR استفاده شد. برای تکثیر ناحیه تکراری ژن *MdMYB10b* (شماره دستری ۷۱.۱ AB592747) از یک جفت آغازگر اختصاصی (۵'-F; ۵'-R; ۵'-AGCAGCGAAAGCATGATAAAGGTATCT و ۵'-AAGGCCAGTGACGTGCATGTCTG) واقع در دو طرف توالي تکراری استفاده شد. مخلوط PCR مطابق با مقادیر ذکر شده برای نشانگر ریزماهواره بود. واکنش PCR با دمای ۹۴°C به مدت ۵ دقیقه آغاز و در ۳۵ چرخه (۹۴°C به مدت ۴۵ ثانیه، ۶۰°C به مدت ۴۰ ثانیه، ۷۲°C به مدت ۴۰ ثانیه) انجام شد و در نهایت در ۷۲°C به مدت ۱۰ دقیقه قرار گرفت. محصولات PCR بر روی ژل آگارز یک درصد بارگذاری و با اتیدیوم بروماید رنگ-آمیزی شد. در نهایت مورد توالي یابی قرار گرفت. بررسی تنوع ناحیه تکراری در تمامی ژنتوتیپ‌های گوشت قرمز و سفید انجام شد.

نتایج و بحث

به منظور بررسی میزان خویشاوندی ژنتوتیپ‌های سیب قرمز بومی با برخی از ارقام تجاری گوشت سفید داخلی و خارجی، ۲۰ ژنتوتیپ انتخاب و با استفاده از ۷ جفت آغازگر SSR مورد ارزیابی قرار گرفت. این آغازگرها توانستند تکثیر خوبی در همه

جدول -۳- پارامترهای چندشکلی مربوط به هر یک از آغازگرهای ریزماهواره مورد استفاده در این پژوهش						
نام آغازگر	تعداد ال	تعداد ال موثر	ضریب شانون	هتروزیگوستی قابل مشاهده	هتروزیگوستی مورد انتظار	نام آغازگر
MdBHLH3	۱۱	۱۰/۲۵	۲/۳۵	۰/۵۵	۰/۹۲	
MdMYB12	۵	۲/۱۲	۱/۰۳	۰/۲۵	۰/۵۴	
NZmsPa18	۸	۶/۱۰	.۹۲	۰/۹۰	۰/۸۵	
NZmsPa113	۱۱	۷/۵۴	۲/۱۵	۰/۷۵	۰/۸۸	
NZmsPa136	۸	۵/۴۴	۱/۸۴	۰/۳۰	۰/۸۳	
NZmsPa145	۳	۲/۰۶	.۸۸	۰/۴۵	۰/۵۲	
NZmsPa1213rd	۱۰	۶/۶۶	۲/۰۷	۱/۰۰	۰/۸۷	
میانگین	۸	۵/۷۴	۱/۷۵	.۶	.۷۷	



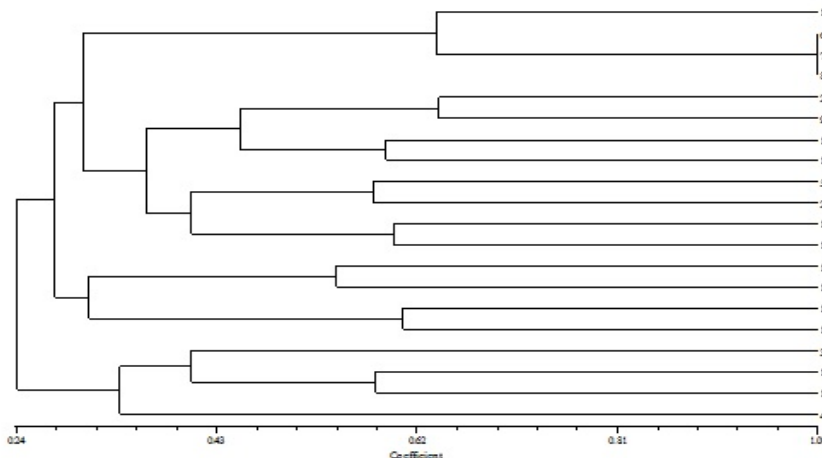
شکل ۱- آغازگر MdBHLH3 با ۱۱ ال- ژنتوتیپ‌ها برتری شامل (۱) حاجی قرمز؛ (۲) گوشت قرمز؛ (۳) شاهروند-۱۰؛ (۴) عروس گوشت قرمز؛ (۵) قزوین-۱؛ (۶) قزوین-۲؛ (۷) قزوین-۳؛ (۸) شفیعی؛ (۹) شفیعی؛ (۱۰) گلاب کهنه؛ (۱۱) گلدن دلیشز؛ (۱۲) گلدن دلیشز؛ (۱۳) گرانی اسمیت؛ (۱۴) سلطانی شبستر؛ (۱۵) فوجی؛ (۱۶) رد دلیشز؛ (۱۷) حیدر زاده؛ (۱۸) گلاب صحنه؛ (۱۹) گالا؛ (۲۰) شفیع آبادی. چاهک اول و آخر مربوط به ladder است که سه باند ۱۰۰ bp، ۲۰۰ bp و ۴۰۰ bp مشخص است.

ژنتوتیپ‌های قزوین یکسان بود. به نظر می‌رسد که هر سه از طریق تکثیر رویشی از دیگر یافته‌هایند به همین علت تفاوت ژنتیکی نشان ندادند. در گروه دوم، گوشت قرمز، شفیعی، گلدن دلیشز و گالا قرار گرفت که گوشت قرمز و شفیعی جز ارقام ایرانی و گلدن دلیشز و گالا جز ارقام خارجی هستند که موید تکثیر این ژنتوتیپ‌ها از طریق رویشی می‌باشد. در گروه سوم یک ژنتوتیپ گوشت قرمز B.9 و سه ژنتوتیپ گوشت سفید شفیع آبادی، جاناتان و گرانی اسمیت قرار دارد. از آنجا که نواحی ژئومی حاوی ریزماهواره‌ها غالباً کنترل کننده صفات نمی‌باشند به این مفهوم که در نواحی کدکننده ژئوم قرار ندارند و نیز تعداد محدودی از آنها در این تحقیق استفاده شد، آغازگرهای فوق نتوانستند در تفکیک صفت قرمزی گوشت میوه سبب موثر واقع شوند. دو ژنتوتیپ بومی گوشت سفید شامل گلاب صحنه و گلاب کهنه نیز در یک گروه قرار گرفتند که از لحاظ مورفلوژیکی نیز به یکدیگر شبیه هستند. در گروه پنجم، فوجی و رد دلیشز قرار گرفتند که به خاطر والد بودن رد دلیشز برای فوجی، منطقی به نظر می‌رسد (سبب

NZmsPa1213 و کمترین هتروزیگوستی مشاهده شده برابر با ۰/۲۵ برای آغازگر MdMYB12 و میانگین هتروزیگوستی مشاهده شده برابر با ۰/۶ بود (جدول ۳). بیشترین هتروزیگوستی قابل انتظار ۰/۹۲ برای آغازگر MdBHLH3 و کمترین هتروزیگوستی قابل انتظار ۰/۵۲ برای آغازگر NZmsPa145 و میانگین هتروزیگوستی قابل انتظار ۰/۷۷ بود. بیشترین مقدار شاخص شانون برابر با ۲/۳۵ و مربوط به آغازگر MdBHLH3 کمترین مقدار برابر با ۰/۸۸ و مربوط به آغازگر NZmsPa145 و میانگین آن برابر با ۱/۷۵ بود (جدول ۳).

تجزیه خوشای بین افراد با استفاده از ضریب تشابه دایس به عنوان معیار مقایسه و روش UPGMA انجام گرفت و نتایج حاصل به صورت دندروگرام (شکل ۲) ترسیم شد. بر اساس دندروگرام ترسیم شده، ارقام و ژنتوتیپ‌های مورد بررسی در ۷ گروه به ترتیب زیر قرار گرفتند.

گروه اول شامل حاجی قرمز، قزوین-۱، قزوین-۲ و قزوین-۳ بود. خصوصیات مورفلوژیک درخت و میوه و نیز منشا جغرافیایی



شکل ۲- دندروگرام ارقام و ژنتوتیپ‌های موربد بررسی در این مطالعه بر اساس الگوهای باندی SSR با استفاده از ضربی تشابه دایس و روش UPGMA. ژنتوتیپ‌ها شامل (۱) حاجی قرمز؛ (۲) گوشت قرمز؛ (۳) شاهروند؛ (۴) عروس گوشت قرمز؛ (۵) قزوین-۱؛ (۶) قزوین-۲؛ (۷) قزوین-۳؛ (۸) شفیعی؛ (۹) گلاب کهنه؛ (۱۰) چاتان؛ (۱۱) گلدن دلیشر؛ (۱۲) گرانی اسمیت؛ (۱۳) رد دلیشر؛ (۱۴) سلطانی شبستر؛ (۱۵) فوجی؛ (۱۶) حیدر زاده؛ (۱۷) گلاب صحنه؛ (۱۸) کالا؛ (۱۹) شفیع آبادی.

مسئول رنگ قرمز در میان ارقام مختلف از نواحی متفاوت انتقال یافته است. همچنین بر اساس دندروگرام، ارتباطی میان گروه‌بندی و منشا جغرافیایی مشاهده نشد و بنابراین ژنتوتیپ‌های مربوط به مناطق یکسان در گروه‌های متفاوت قرار گرفتند (شکل ۲). مطابق با نتایج گروه‌بندی، ارقام و ژنتوتیپ‌های ایرانی و ارقام خارجی در بعضی از کلاسترها بطور مشترک قرار گرفتند (شکل ۲) که نشان داد بعضی از ارقام خارجی ارتباط خویشاوندی نزدیکی با ارقام و ژنتوتیپ‌های بومی (ایرانی) دارند. همچنین بر اساس نتایج گروه‌بندی (شکل ۲)، ارتباطی میان کلاسترها ارقام و ایرانی یا خارجی بودن سیب‌ها مشاهده نشد و بنابراین ژنتوتیپ‌های مربوط به مناطق یکسان در گروه‌های متفاوت قرار گرفتند.

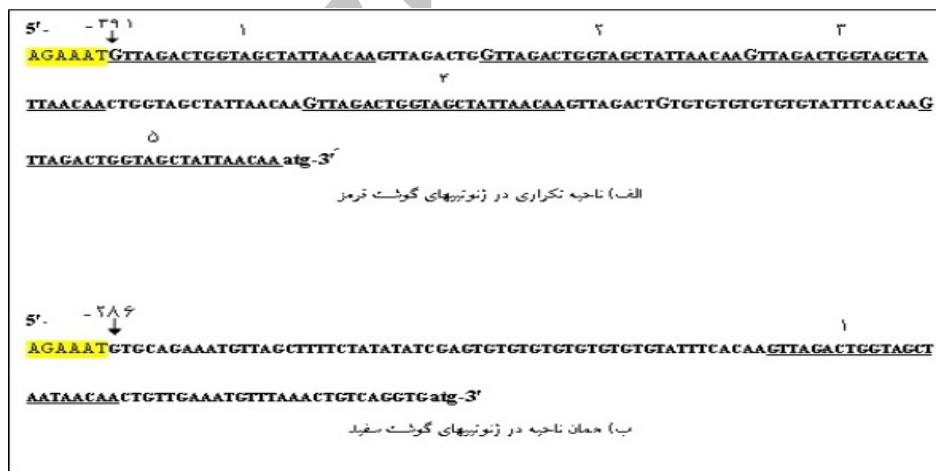
از آنجا که علت تفاوت رنگ گوشت در سیب مربوط به توالی متغیر ناحیه راهانداز ژن *MYB10b* است (Espley et al. 2009) لذا جهت بررسی و یافتن هرگونه پلی مورفیسم بیشتر در این ناحیه در میان ژنتوتیپ‌های گوشت قرمز و گوشت سفید، راهانداز این ژن با استفاده از آغازگرهای اختصاصی در ژنتوتیپ‌های گوشت قرمز و گوشت سفید مورد مطالعه که مربوط به اقلیم‌های متفاوت نیز بودند (جدول ۱)، تکثیر و توالی آن مورد بررسی قرار داده شد. بدلیل اینکه اغلب ژنتوتیپ‌های مورد مطالعه، بومی ایران است لذا احتمال یافتن نواحی تکراری دیگر (که در گزارشات گذشته کشف نشده است) وجود داشت بنابراین هدف از این کار یافتن

فوجی یک رقم هیبریدی معرفی شده در ژاپن است که از تلاقی 'Virginia Ralls Genet' و 'Red Delicious' (دو رقم آمریکایی 'Red Delicious' بدست آمده است). در گروه ششم، سه ژنتوتیپ بومی شاهروند-سلطانی شبستر و حیدرزاده وجود دارد که شاهروند-سلطانی شبستر قرمز ایرانی است و در گروه آخر عروس گوشت قرمز قرار گرفت.

همانطور که در شکل ۲ دیده می‌شود ژنتوتیپ‌های گوشت قرمز تنوع ژنتیکی بالایی را نشان می‌دهد. ارقام گوشت قرمز ایرانی در گروه‌های متفاوت قرار گرفتند چرا که خصوصیات ظاهری آنها هم تا حدی متفاوت می‌باشد و این به علت وجود تنوع ژنتیکی بالا در این ارقام بود. بیشترین تشابه ژنتیکی بین ژنتوتیپ‌های قزوین و کمترین تشابه بین ژنتوتیپ گوشت قرمز و عروس گوشت قرمز (۰/۰۸) بود. ژنتوتیپ‌های گوشت قرمز در میان ارقام گوشت سفید گروه‌بندی شده است. با توجه به گروه‌بندی نمی‌توان میان ژنتوتیپ‌های گوشت قرمز با ژنتوتیپ‌های گوشت سفید تفاوت معناداری از لحاظ ژنتیکی مشاهده کرد که بر آن اساس آن دو دسته را از دو منشا متفاوت در نظر گرفت. بنابراین با توجه به خودناسازگاری سیب می‌توان استنباط کرد که تلاقی ژنتوتیپ‌های گوشت قرمز (حامل ژن *MdMYB10*) با ژنتوتیپ‌های گوشت سفید منجر به تولید ارقامی شده است (اعم از گوشت سفید و گوشت قرمز) که از لحاظ ژنتیکی نزدیک است و بدین وسیله ژن

احتمالاً مستقل از ناحیه تکراری است اما همچنان فنوتیپ قرمز تابع وجود ناحیه تکراری است. بنظر می‌رسد که این تنوع رنگی تابع محیط و ژن‌های دیگر باشد. تعداد و توالی یکسان واحدهای تکراری در همه ژنوتیپ‌های مورد استفاده، در کنار نتایج مطالعه Esplay et al. (2009) پیشنهاد می‌کند که احتمالاً موتاسیون (بوجود آمدن توالی تکراری) در بالادست ژن *MYB10* تنها یکبار در طول تکامل صورت گرفته است. همچنین بنظر می‌رسد این موتاسیون ناگهانی در یک والد اولیه اتفاق افتاده که توسط فرایند انتخاب انتشاریافته و به نسل‌های بعدی منتقل شده و در نهایت این ارقام در سطح جهان منتشر شده است. بنابراین ممکن است که ارقام گوشت قرمز در نقاط مختلف جهان از یک جد مشترک تکامل یافته و این موتاسیون هیچگاه در طول تکامل تغییر نکرده است. ذکر این نکته ضروری است که در این زمینه نمی‌توان از نتایج SSR این مطالعه بهره‌گرفت زیرا از منظر تکاملی و فیلوزنی صورت نگرفته و تنها به بررسی تنوع ژنوتیپ‌ها پرداخته است. بنابراین به سختی می‌توان در مورد موتاسیون بوجود آمده اظهار نظر قطعی کرد و نیاز به پژوهش‌های تکاملی جهت شفافیت بیشتر ضروری به نظر می‌رسد.

تنوع بیشتر ناحیه بالادست ژن عامل رنگ قرمز (*MYB10b*) بود. در این بررسی یک ناحیه تکراری حاوی ۵ توالی تکراری ۲۳ bp (ناحیه ۲۱۹-۳۹۱-آغاز) در تمام ژنوتیپ‌های گوشت قرمز مشاهده شد در حالیکه ژنوتیپ‌های گوشت سفید فاقد این ناحیه تکراری می‌باشد (شکل ۳). این نتایج نشان می‌دهد که این توالی تکراری برای ایجاد رنگ قرمز گوشت ضروری است. بعارت دیگر فنوتیپ گوشت قرمز با توالی تکراری ارتباط دارد. با بررسی ملکولی تعدادی از ژنوتیپ‌های گوشت قرمز وجود این پنج توالی تکراری و ارتباط مستقیم این ناحیه تکراری با فنوتیپ گوشت قرمز گزارش شد (Esplay et al. 2009). نتایج پژوهش حاضر نیز با مطالعه فوق مطابقت دارد. لازم به ذکر است که یک توالی میکروساتلیتی نیز در همه ژنوتیپ‌ها دیده شد که میان گوشت قرمز و سفید مشترک بود و در بخش مارکر SSR مورد بررسی قرار گرفته است (آغازگر *MdMYB12*). با توجه به تنوع شدت و الگوی رنگ قرمز در میان ژنوتیپ‌های گوشت قرمز مختلف تصور می‌شد که این تنوع رنگ، با این ناحیه تکراری تکراره ارتباط دارد. نتایج توالی‌بایی نشان داد که هیچگونه تنوعی در ناحیه تکراری میان ژنوتیپ‌های قرمز از نظر توالی و تعداد تکرارهای ۲۳ تایی وجود ندارد. بنابراین تنوع رنگی گوشت میوه



شکل ۳- موقعیت و توالی ناحیه تکراری وافع در بالادست ژن *MdMYB10b*. الف) اولین واحد ۲۳ جفت بازی تکراری در ۲۲۰ bp بالادست توالی آغازی قرار دارد که در ادامه ۴ واحد تکراری دیگر نیز قرار دارد؛ ب) در ژنوتیپ گوشت سفید تنها یک واحد تکراری قرار دارد. دو توالی همپوشانی ۲۶/۷ درصدی دارند. اعداد ۱ تا ۵ نشان-دهنده واحدهای تکراری است. ۳۹۱-۲۸۶ - تعداد نوکلئوتیدهای بالادست کدون آغاز می‌باشد.

منابع

- Allan AC, Hallens RP Lainge AW (2008) Myb transcription factors that colour our fruit. *Trends in Plant Science* 13: 99-102.
- Ban Y, Honda C, Hatsuyama Y, Igarashi M, Bessho H, Morigushi T (2007) Isolation and functional analysis of a MYB transcription factor gene that is a key regulator for the development of red coloration in apple skin. *Plant Cell Physiology* 48: 958-970.
- Cavanna M, Marinoni T, Beccaro G, Bounous G (2008) Microsatellite-based evaluation of *Ribes* spp. germplasm. *Genome* 52: 839-848.
- Chagne D, Carlisle CM, Blond C, Volz R, Witworth CJ, Oraguzie NC, Crowhurst RN, Allan AC, Esplay RV, Hellens RP, Gardiner S (2007) Mapping a candidate gene (*MdMYB10*) for red flesh and foliage colour in apple. *BMC Genomics* 8: 212-220.
- Doyle JJ, Doyle JL (1987) A rapid DNA isolation procedure for small quantities of fresh leaf tissue. *Phytochemical Bulletin* 19: 11-15.
- Ershadi A (2002) Genetic evaluation of 32 Iranian apple cultivars (*Malus domestica*) with using SSR markers. Dissertation, Tehran University, Iran.
- Esplay RV, Brendolise C, Chagne D, Kutt-Amma S, Green S, Volz R, Putteril J, Schouten HJ, Gardiner SE, Hellens RP, Allan AC (2009) Multiple repeats of a promoter segment causes transcription factor autoregulation in red apples. *Plant Cell* 21: 168-180.
- Esplay RV, Hellens RP, Putterill J, Stevenson DE, Kutt-Amma S, Allan AC (2007) Red colouration in apple fruit is due to the activity of the MYB transcription factor MdMYB10. *Plant Journal* 49: 414 - 427.
- Faramarzi S (2011) Study of morphological traits and genetic diversity among Iranian red flesh apples using microsatellite markers. Dissertation, Tarbiat Modares University, Iran.
- Farrokh J, Naseri L (2012) Genetic diversity survey of Iranian native apples (*malus*×*domestica*) genotypes using ssr markers. *Agricultural Biotechnology* 2: 27-34.
- Gábor H, Kiss E, Heszky L (2005) Molecular identification of commercial apple cultivars with microsatellite markers. *Horticultural Science Journal* 7: 40-45.
- Gahromee SR , Keshavarzi M, Naghavi MR, Damyan S, Zahraee M (2009). Molecular identification of apple cultivars/rootstocks using SSR markers. *Agricultural Biotechnology* 1: 17-26.
- Galli A, Svegliati-Baroni G, Ceni E, Milani S, Ridolfi F, Salzano R, Tarocchi M, Grappone C, Pellegrini G, Benedetti A (2005) Oxidative stress stimulates proliferation and invasiveness of hepatic stellate cells via a MMP2-mediated mechanism. *Hepatology* 41: 1074-1084.
- Gharghani A, Zamani Z, Talaie A, Oraguzie NC, Fatahi R, Hajnajari H, Wiedow C, Gardiner SE (2009) Genetic identity and relationships of Iranian apple (*Malus*×*domestica*) cultivars and landraces, wild *Malus* species and representative old apple cultivars based on simple sequence repeats (SSR) marker analysis. *Genetic Resources and Crop Evolution* 13:1-14.
- Gianfranceschi L, Seglias N, Tarchini R, Komjanc M, Gessler C (1998) Simple sequence repeats for the genetic analysis of apple. *Theoretical and Applied Genetics* 96: 1069-1076.
- Gianfranceschi L, Seglias N, Tarchini R, Komjanc M, Gessler C (1998) SSRs for the genetic analysis of apple. *Theoretical and Applied Genetics* 96: 1069-1076.
- Goulao L, Oliveira CM (2001) Molecular characterization of cultivars of apple (*Malus domestica* Borkh.) using microsatellite (SSR and ISSR) markers. *Euphytica* 122: 81-89.
- Guilford P, Prakash S, Zhu JM, Rikkerink E, Gardiner S, Bassett H, Forster R (1997) Microsatellites in *Malus domestica* (Apple): abundance, polymorphism and cultivar identification. *Theoretical and Applied Genetics* 94: 249-254.
- Harris SA, Robinson JP, Juniper BE (2002) Genetic clues to the origin of the apple. *Trends in Genetics* 18: 426-430.
- Hokanson SC, Lamboy WF, McFadden AK, McFerson JR (2001) Microsatellite (SSR) variation in a collection of *Malus* (apple) species and hybrids. *Euphytica* 118:281-294.
- Hokanson SC, Szewc-McFadden AK, Lamboy WF, McFerson JR (1998) Microsatellite (SSR) markers reveal genetic identities, genetic diversity and relationships in a *Malus*×*domestica* borkh. core subset collection TAG. *Theoretical and Applied Genetics* 97: 671-683.
- Konczak I, Zhang W (2004) Anthocyanins-more than nature's colours. *Journal of Biomedicine and Biotechnology* 5: 239-240.
- Naghsin F, Bahari M, Seyyed tabatabaei BA, Hajnajari H (2008) Genetic evaluation of some Iranian apple genotypes (sibe golab) using SSR markers. *Horticulture Science and Technology Journal* 9: 69-82.
- Richards CM, Volk GM, Reiley AA, Henk AD, Lockwood DR, Reeves PA, Forsline PL (2009) Genetic diversity and population structure in *Malus sieversii*, a wild progenitor species of domesticated apple. *Tree Genetics and Genomes* 5: 339-347.
- Silfverberg-Dilworth E, Matasci CL, Van de Weg WE, Van Kaauwen MPW, Walser M, Kodde LP, Soglio V, Gianfranceschi L, Durel CE, Costa F, Koller TB, Gessler C, Patocchi A (2006) Microsatellite markers spanning the apple (*Malus* x *domestica* Borkh.) genome. *Tree Genetics and Genomes* 2: 202-224.